

文章编号: 1000-324X(2017)06-0643-06

DOI: 10.15541/jim20160509

稀土掺杂对 ZnO-B₂O₃-SiO₂ 玻璃热稳定性及结构的影响

王觅堂, 方龙, 李梅, 柳召刚, 胡艳宏, 张晓伟

(内蒙古科技大学 材料与冶金学院, 包头 014010)

摘要: 为了探索镧系与非镧系元素对 ZnO-B₂O₃-SiO₂ 系统玻璃热稳定性及结构的影响, 本研究采用差示扫描量热仪(DSC)和傅立叶变化红外光谱仪(FTIR)开展了 La₂O₃ 和 Y₂O₃ 掺杂对该系统玻璃析晶行为、热稳定性和结构变化的系统研究。结果表明: 当 La₂O₃ 掺杂量大于 8mol%、Y₂O₃ 掺杂量大于 6mol% 时, 60ZnO-30B₂O₃-10SiO₂ 系统玻璃开始出现析晶现象; 当 La₂O₃ 掺杂量为 4mol%、Y₂O₃ 掺杂量为 2mol% 时, 该玻璃的热稳定性最好。结构研究表明, 少量添加稀土氧化物会使该系统玻璃的网络链接程度提高, 而当掺杂量超过一定量时会使该系统玻璃的网络链接程度降低。

关键词: ZnO-B₂O₃-SiO₂ 玻璃; La₂O₃; Y₂O₃; 热稳定性; 玻璃结构

中图分类号: TQ174 文献标识码: A

Effect of Rare Earth Dopant on Thermal Stability and Structure of ZnO-B₂O₃-SiO₂ Glass

WANG Mi-Tang, FANG Long, LI Mei, LIU Zhao-Gang, HU Yan-Hong, ZHANG Xiao-Wei

(School of Materials and Metallurgy, Inner Mongolia University of Science and Technology, Baotou 014010, China)

Abstract: To investigate the effect of the lanthanides and non-lanthanides elements on the thermal stability and structure of ZnO-B₂O₃-SiO₂ glass, the crystallization behavior, thermal stability and structural changes of ZnO-B₂O₃-SiO₂ glass doped with La₂O₃ and Y₂O₃ were characterized by the differential scanning calorimetry (DSC) and Fourier Transform Infrared spectrometer (FTIR). The results showed that when the La₂O₃ and Y₂O₃ additions are more than 8mol% and 6mol%, respectively, the 60ZnO-30B₂O₃-10SiO₂ glass system begins to crystallize. When La₂O₃ and Y₂O₃ additions are 4mol% and 2mol%, respectively, this glass is of the best thermal stability. According to the structure research, the network linking performance of this kind of glass can be improved by a small amount addition of rare earth oxide. In contrast, the network linking performance of this kind of glass can be decreased by rare earth oxide's addition exceeding a certain threshold value.

Key words: ZnO-B₂O₃-SiO₂ glass; La₂O₃; Y₂O₃; thermal stability; structure

近年来, 锌硼硅玻璃在发光材料、封接材料和光储存材料领域^[1-6]的研究得到了广泛关注。但是锌硼硅玻璃在这些领域使用过程中经常会遇到温度骤

变, 这会直接影响锌硼硅玻璃的使用寿命和使用范围。因此改善锌硼硅玻璃的热稳定性, 提高其耐热冲击力非常有意义。

收稿日期: 2016-09-12; 收到修改稿日期: 2016-12-05

基金项目: 国家自然科学基金(51202104, 51362019, 51662033); 内蒙古自然科学基金(2016JQ05); 内蒙古草原英才项目;
内蒙古科技大学创新基金(2014QNNG02)

National Natural Science Foundation of China (51202104, 51362019, 51662033); Natural Science Foundation of the Inner Mongolia Autonomous Region(2016JQ05); Program for Young Talents of Inner Mongolia Autonomous Region; School Funds of Inner Mongolia University of Science and Technology (2014QNNG02).

作者简介: 王觅堂(1982-), 男, 博士, 教授. E-mail: btwmt@126.com

通讯作者: 李梅, 教授. E-mail: limei@imust.cn

稀土元素具有特殊的4f电子层结构，已被广泛应用于改善玻璃的性能^[7-10]。 La_2O_3 作为镧系元素的典型代表在玻璃中被认为是网络修饰体^[11-13]，钱斌等^[11]利用拉曼光谱对 La_2O_3 掺杂的铁磷酸盐玻璃结构进行了表征，发现添加少量的 La_2O_3 不会改变玻璃网络结构， La^{3+} 的引入有利于增强玻璃结构的稳定性。陆平等^[12]研究了 La_2O_3 掺杂对 $\text{Li}_2\text{O}-\text{Al}_2\text{O}_3-\text{SiO}_2$ 微晶玻璃析晶和性能的影响，结果表明，由于 La^{3+} 的半径较大(106.1 pm)和配位数较高(>6)，随着 La_2O_3 掺杂量的增加，玻璃化转变温度和析晶温度降低，热膨胀系数增大。 Y_2O_3 作为非镧系元素的典型代表，在玻璃中的应用报道较多。Singh等^[14]研究了 Y_2O_3 掺杂对 $\text{SiO}_2-\text{MgO}-\text{B}_2\text{O}_3-\text{Al}_2\text{O}_3$ 玻璃析晶行为的影响，发现添加 Y_2O_3 可以提高玻璃化转变温度、析晶温度和玻璃的热稳定性，此外它还能抑制堇青石的形成。Costantini等^[15]研究了 Y_2O_3 替代 CaO 对 $2.5\text{CaO}-2\text{SiO}_2$ 生物活性玻璃的影响，结果表明，随着 Y_2O_3 掺杂量的增加，玻璃化转变温度和玻璃软化温度都在升高。本课题组前期研究发现^[16-18]，不同种类稀土氧化物及含量对 $\text{ZnO}-\text{B}_2\text{O}_3-\text{SiO}_2$ 系统玻璃及微晶玻璃的化学稳定性和抗风化性能具有不同的影响规律，这主要与玻璃中基本结构单元的变化、玻璃分相和网络连接程度等因素有关。因此，本工作将探索镧系元素和非镧系元素掺杂对锌硼硅玻璃热稳定性及结构的影响规律。

1 实验方法

1.1 样品制备

实验以 $\text{ZnO}-\text{B}_2\text{O}_3-\text{SiO}_2$ 系统玻璃(60 mol% ZnO 、30 mol% B_2O_3 、10 mol% SiO_2 ，摩尔分数，下同)为基底玻璃B0，添加不同含量(2 mol%、4 mol%、6 mol%、8 mol%、9 mol%、10 mol%、12 mol%)的 La_2O_3 ，分别记作L1、L2、L3、L4、L5、L6、L7；添加不同含量(2 mol%、4 mol%、6 mol%、7 mol%、8 mol%、10 mol%)的 Y_2O_3 ，分别记作Y1、Y2、Y3、Y4、Y5、Y6。将称量好的100 g配合料混合、研磨均匀之后，放入铂铑合金坩埚内，在1300~1400℃高温升降炉中熔融2 h，然后将熔体倒入预热的石墨模具中，成型后迅速送入退火炉内，在550℃保温1 h，之后随炉冷却至室温备用。

1.2 样品表征

利用Netzsch STA449 C同步热分析仪检测样品的玻璃化转变温度 T_g 、玻璃的起始析晶温度 T_c 和析晶峰温度 T_p ，测试温度范围为室温~1000℃，升温速

率为10℃/min。利用PerkinElmer红外光谱仪检测玻璃的结构变化，将玻璃粉与溴化钾按1:100的比例混合研磨均匀后，在20 MPa压强下压制3 min，制得厚度为2 mm左右的圆片用于测试。PerkinElmer红外光谱仪检测范围为400~2000 cm⁻¹，分辨率为4 cm⁻¹，测得的红外曲线为12次光谱扫描的结果。

2 结果与讨论

2.1 稀土掺杂对玻璃析晶的影响

图1是掺杂不同量稀土氧化物的玻璃样品的实物照片，从图1中可以看出，L5和Y4玻璃样品上表面开始出现少量白色晶体，表明当 La_2O_3 掺杂量大于8 mol%、 Y_2O_3 掺杂量大于6 mol%时，60ZnO-30B₂O₃-10SiO₂系统玻璃开始出现析晶现象。 La_2O_3 和 Y_2O_3 在60ZnO-30B₂O₃-10SiO₂系统玻璃中的最大掺杂量不同是由于稀土阳离子属于高场强的网络修饰体，容易在玻璃结构中产生局部积聚作用，使玻璃网络中近程有序的范围增加，从而增大玻璃的析晶倾向^[19]。根据 $CFS=Z/r^2$ 可知稀土阳离子场强的大小^[20]，由于 $r(\text{La}^{3+})=0.1061\text{ nm}$, $r(\text{Y}^{3+})=0.088\text{ nm}$ ^[21], $CFS(\text{La}^{3+}) < CFS(\text{Y}^{3+})$, Y^{3+} 的积聚作用大于 La^{3+} ，所以试验中发现 Y_2O_3 的掺杂量大于6 mol%时开始产生析晶现象，而 La_2O_3 的掺杂量大于8 mol%时才会产生析晶。

2.2 稀土掺杂对玻璃热稳定性的影响

图2为掺杂稀土氧化物玻璃的DSC曲线，由此得到的起始析晶温度 T_c 和析晶峰温度 T_p 列于表1。福格尔^[22]将玻璃化转变温度描述为玻璃熔体连续转变成玻璃状固体时的一个转变点，反映在DSC曲线上就是拐点。所以在550~600℃区间，采用二次求导的方法来确定DSC曲线拐点，即得到玻璃化转

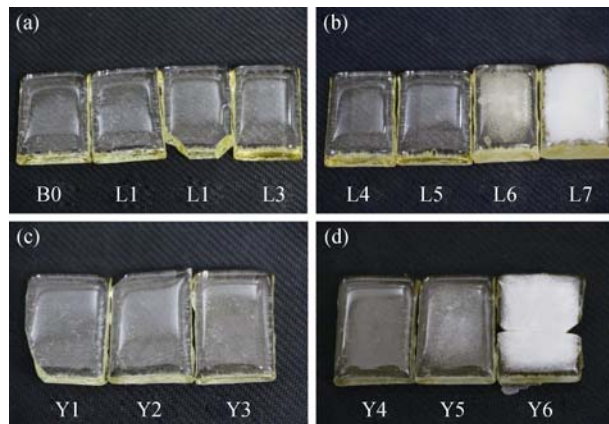


图1 掺杂不同量稀土氧化物的玻璃样品的实物照片

Fig. 1 Pictures of different content of rare earth oxide doped glass samples

变点 T_g , 利用此方法, 将其他样品的玻璃化转变点 T_g 列于表 1。

LAFI 等^[23]提出了利用(T_c-T_g)来比较玻璃的热稳定性。一般情况, 稳定玻璃系统的析晶峰是接近熔点温度; 而不稳定玻璃系统的析晶峰就会接近玻璃化转变温度。因此(T_c-T_g)差值越大, 就越不容易成核与析晶, 玻璃的热稳定性越好, 也就越容易形成玻璃。Saad 和 Poulin^[24]用参数 S 来表示玻璃的热稳定性, 热稳定参数 S 值越大, 玻璃的热稳定性越好。

$$S = \frac{(T_p - T_c)(T_c - T_g)}{T_g} \quad (1)$$

通过表 1 和公式(1)可以确定出玻璃的热稳定参数 S , 如图 3 所示。从图中看出, 当 La₂O₃ 掺杂量为 4mol%、Y₂O₃ 掺杂量为 2mol% 时, 玻璃的热稳定性最好。当 La₂O₃ 和 Y₂O₃ 的掺杂量继续增加时, 玻璃的热稳定性就会随之下降, 但整体要比基础玻璃热稳定性好。这是由于 La₂O₃ 和 Y₂O₃ 都是以网络修饰体的形式存在于玻璃中, 且 CFS(La³⁺) < CFS(Y³⁺), 故 La₂O₃ 提供“游离氧”的本领要强于 Y₂O₃^[19]。少量

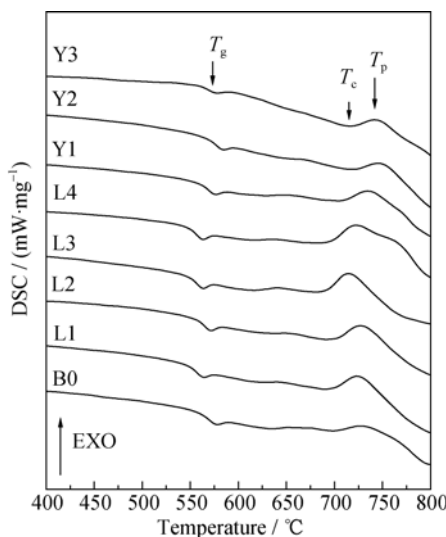


图 2 掺杂稀土氧化物玻璃的 DSC 曲线

Fig. 2 DSC curve of glasses doped with REO

表 1 掺杂稀土氧化物玻璃的特征温度

Table 1 Characteristic temperature of glasses doped with REO

Glass	T_g / °C	T_c / °C	T_p / °C	S
B0	570	699	727	6.3
L1	568	701	734	7.7
L2	565	692	728	8.1
L3	565	689	724	7.7
L4	565	695	728	7.6
Y1	573	708	739	7.3
Y2	575	715	744	7.1
Y3	576	724	750	6.7

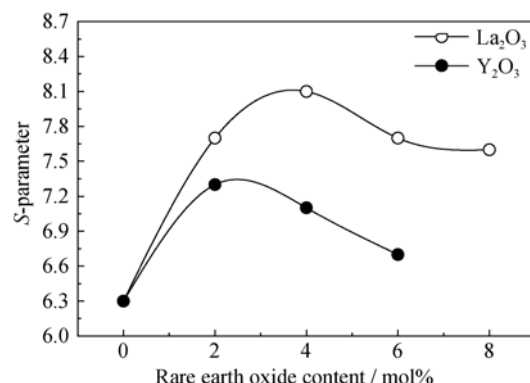


图 3 稀土氧化物对玻璃热稳定性的影响

Fig. 3 Thermal stability of glass vs. content of REO

La₂O₃ 或 Y₂O₃ 给玻璃提供了“游离氧”, 造成[BO₃]向[BO₄]转化, 同时[ZnO₄]也在增多, 使得玻璃整体网络链接程度提高, 从而使玻璃的热稳定性变好。但是继续增加 La₂O₃ 和 Y₂O₃ 的掺杂量, 导致体系中的“非桥氧”增多, 从而降低玻璃的网络链接程度, 使得玻璃的热稳定性降低^[25]。总的来说, 在 60ZnO-30B₂O₃-10SiO₂ 系统玻璃中, 掺杂适量 La₂O₃ 或 Y₂O₃ 会不同程度地提高玻璃的热稳定性^[11,14]。

2.3 稀土掺杂对玻璃结构的影响

图 4 为 La₂O₃ 和 Y₂O₃ 掺杂玻璃样品的红外光谱图, 575 cm⁻¹ 处的吸收谱带对应[ZnO₄]的 Zn-O 伸缩振动峰^[26], 700 cm⁻¹ 处的吸收谱带对应[BO₃]的 B-O-B 弯曲振动峰^[27-29], 800~1200 cm⁻¹ 范围内的吸收谱带对应 [BO₄] 的 B-O 伸缩振动峰^[27-29], 970~1095 cm⁻¹ 范围内的吸收谱带对应 Si-O-Si 的反对称伸缩振动峰^[30], 1200~1600 cm⁻¹ 范围内的吸收谱带为[BO₃]的 B-O 伸缩振动峰^[27-29]。

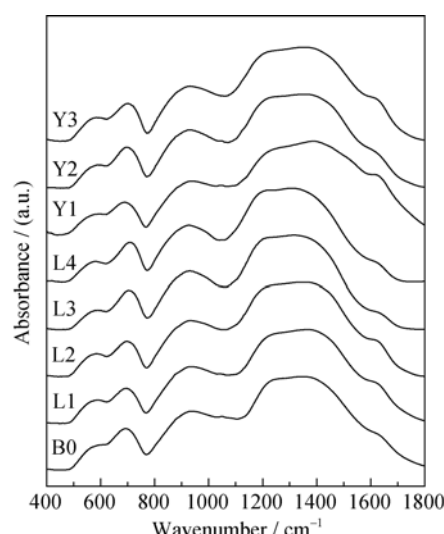


图 4 掺杂稀土氧化物玻璃的红外光谱图

Fig. 4 FT-IR spectra of glasses doped with REO

为了更准确地探索 La_2O_3 、 Y_2O_3 掺杂对 $60\text{ZnO}-30\text{B}_2\text{O}_3-10\text{SiO}_2$ 玻璃结构的影响, 对红外光谱中 $400\sim1600\text{ cm}^{-1}$ 范围之间的曲线进行了分峰拟合, 图 5 为 B0 样品的高斯拟合结果。采用同样的方法, 对其他玻璃样品红外曲线进行拟合, 结果列于表 2。表 2 中 P1 代表玻璃中的 $[\text{ZnO}_4]$ 的 Zn–O 伸缩振动峰, 利用 P1 的数据绘制了图 6, 可以看出 La_2O_3 和 Y_2O_3 掺杂都会使玻璃中的 $[\text{ZnO}_4]$ 的 Zn–O 伸缩振动峰向高波数偏移, 说明稀土氧化物掺杂使玻璃体系中的 $[\text{ZnO}_4]$ 增多, 这是由于添加 La_2O_3 和 Y_2O_3 会引入大量的“游离氧”, 从而使得更多的 Zn^{2+} 得到自由氧转变成为 $[\text{ZnO}_4]$ 。但当 La_2O_3 掺杂量大于 6 mol% 时, 玻璃中的 $[\text{ZnO}_4]$ 的 Zn–O 伸缩振动峰会减弱, 这是因为 La_2O_3 是高场强的网络修饰体^[11-13], La^{3+} 对 Zn–O 键的极化作用会使 $[\text{ZnO}_4]$ 中的 Zn–O 键强减弱^[12], 从而导致 $[\text{ZnO}_4]$ 的 Zn–O 伸缩振动峰向低波数偏移。

利用表 2 中拟合出的数据可以确定稀土氧化物掺杂对玻璃中基本结构单元 $[\text{BO}_3]$ 与 $[\text{BO}_4]$ 之间转化的影响, 定义体系中所有出现三配位硼原子基团为 N_3 ; 体系中所有出现四配位硼原子基团为 N_4 。计算公式如下^[31]:

$$N_4 = [A_4]/([A_3] + [A_4]), \text{ 并且 } N_3 = 1 - N_4 \quad (2)$$

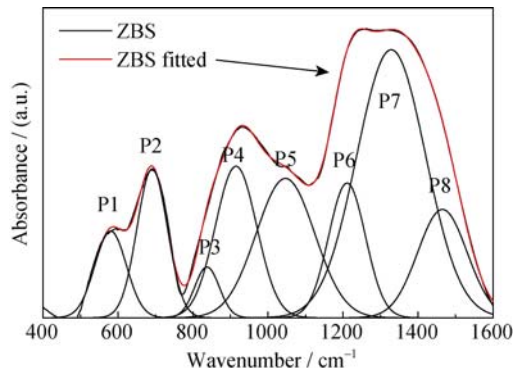


图 5 B0 样品的高斯拟合图

Fig. 5 Deconvoluted FT-IR spectra of B0

表 2 拟合结果所对应的 FT-IR 谱带的峰值和面积(C 表示振动峰的中心, A 表示相对的面积)

Table 2 Deconvoluted parameters of the FT-IR spectra of the glasses (the band centers C and the relative area A)

Glass	P1		P2		P3		P4		P7		P8	
	C	A	C	A	C	A	C	A	C	A	C	A
B0	580.4	21.9	693.2	21.9	837.3	6.1	914.6	30.4	1328.4	89.6	1464.8	25.0
L1	581.4	14.3	692.4	14.3	886.3	21.1	997.1	39.4	1343.3	36.6	1445.2	43.2
L2	581.8	15.0	695.8	15.0	870.0	13.8	965.5	41.3	1337.4	16.4	1431.7	56.1
L3	587.8	19.8	702.8	19.8	862.2	14.2	956.8	54.3	1331.2	33.8	1429.8	58.9
L4	584.9	18.9	704.3	18.9	851.4	10.0	943.2	50.1	1332.7	32.3	1430.2	49.5
Y1	585.3	9.9	692.3	9.9	883.3	17.2	988.3	33.1	1370.8	27.2	1473	43.1
Y2	585.9	18.5	696.7	18.5	871.9	15.4	965.4	41.2	1351.7	30.3	1450.2	43.0
Y3	588.3	15.2	700.4	15.2	867.7	12.4	958.7	37.2	1337.6	15.7	1433.4	59.1

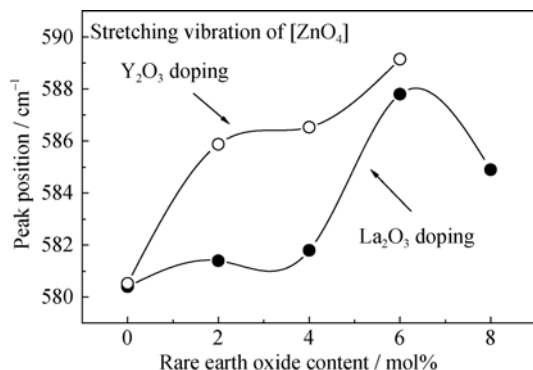


图 6 稀土掺杂对 $[\text{ZnO}_4]$ 的 Zn–O 伸缩振动峰 P1 的影响

Fig. 6 Effect of REO on the peak position of Zn–O P1 in $[\text{ZnO}_4]$ tetrahedron

公式(2)中的 A_4 代表了 $800\sim1200\text{ cm}^{-1}$ 范围内所有 $[\text{BO}_4]$ 的面积, 在 $800\sim1200\text{ cm}^{-1}$ 范围内有 P3 和 P4 两个峰, P3 对应二硼酸盐中 $[\text{BO}_4]$ 的 B–O 伸缩振动峰, P4 对应五硼酸盐中 $[\text{BO}_4]$ 的 B–O 伸缩振动峰^[31]。 A_3 代表了 700 cm^{-1} 附近和 $1200\sim1600\text{ cm}^{-1}$ 范围内的所有 $[\text{BO}_3]$ 的面积, 在 700 cm^{-1} 附近有 P2, 它为 $[\text{BO}_3]$ 的 B–O–B 弯曲振动峰的位置^[27-29], 在 $1200\sim1600\text{ cm}^{-1}$ 范围内有两个代表峰, 分别为 P7 和 P8, 它们对应 $[\text{BO}_3]$ 的 B–O 伸缩振动峰^[27-29]。 A_3 与 A_4 由下式计算:

$$A_3 = P_{2\text{Area}} + P_{7\text{Area}} + P_{8\text{Area}}, \quad (3)$$

$$A_4 = P_{3\text{Area}} + P_{4\text{Area}}$$

根据表 2 的数据以及公式(2)和(3)的计算结果, 绘制了图 7(a)、(b)和图 8(a)、(b)。从图 7(a), (b) 中可看出, 当 La_2O_3 、 Y_2O_3 的掺杂量小于 2% 时, $[\text{BO}_4]$ 的 B–O 伸缩振动峰向高波数偏移, $[\text{BO}_3]$ 的 B–O–B 弯曲振动峰向低波数偏移; 当 La_2O_3 、 Y_2O_3 的掺杂量大于 2% 时, $[\text{BO}_4]$ 的 B–O 伸缩振动峰向低波数偏移, $[\text{BO}_3]$ 的 B–O–B 弯曲振动峰向高波数偏移。

从图 8(a)、(b) 中发现, 当 La_2O_3 为 4 mol%、 Y_2O_3 为 2 mol% 时, $[\text{BO}_4]$ 的含量 N_4 达到最大、 $[\text{BO}_3]$ 的含量 N_3 达到最小。但当 La_2O_3 大于 4 mol%、 Y_2O_3 大

于2mol%时, N_4 都在减小, N_3 都在增大, 增幅不是很明显。这可能是由以下原因引起的: 首先, La₂O₃

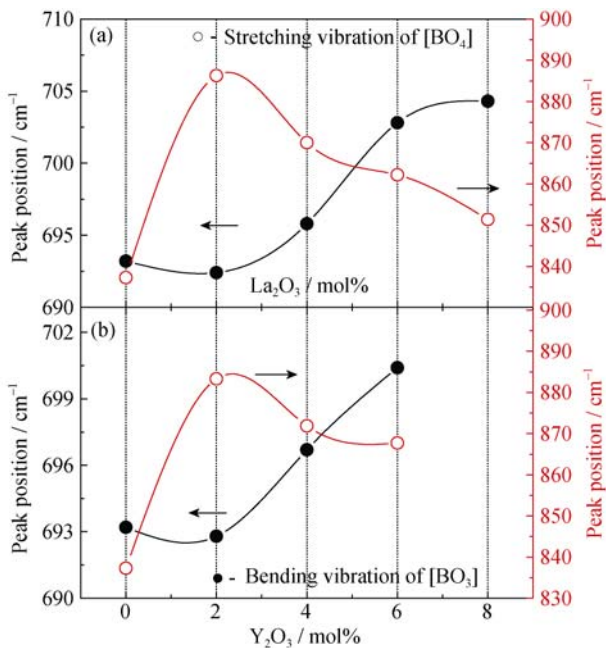


图7 (a)La₂O₃含量对[BO₃]的弯曲振动峰P2和[BO₄]的伸缩振动峰P3峰值的影响; (b)Y₂O₃含量对[BO₃]的弯曲振动峰P2和[BO₄]的伸缩振动峰P3峰值的影响

Fig. 7 (a) Peak position of bending vibration of [BO₃] P2 and stretching vibration of [BO₄] P3 vs content of La₂O₃; (b) Peakposition of bending vibration of [BO₃] P2 and stretching vibration of [BO₄] P3 vs content of Y₂O₃.

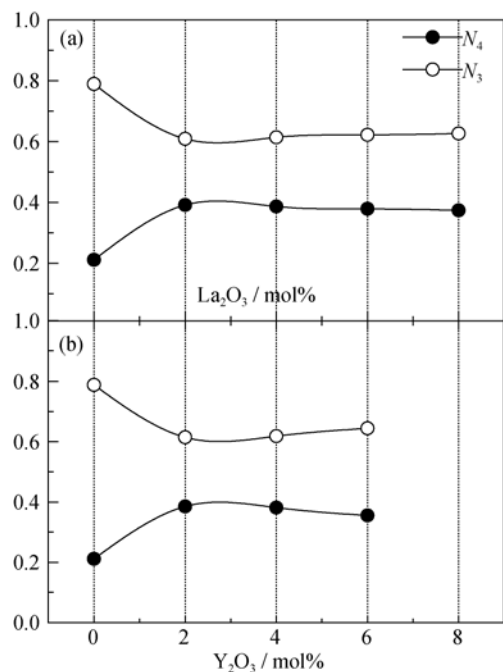


图8 (a)La₂O₃掺杂量对 N_3 和 N_4 的影响; (b)Y₂O₃掺杂量对 N_3 和 N_4 的影响

Fig. 8 (a) N_3 and N_4 vs content of La₂O₃; (b) N_3 and N_4 vs content of Y₂O₃

和Y₂O₃是以网络修饰体存在于玻璃中, 少量掺杂La₂O₃或Y₂O₃时, 体系中[BO₃]得到“游离氧”转化为[BO₄], 玻璃的网络链接程度提高, 热稳定性上升, 导致[BO₄]的B-O伸缩振动峰向高波数偏移, [BO₃]的B-O-B弯曲振动峰向低波数偏移; 其次, 随着La₂O₃或Y₂O₃掺杂量增大, 引入玻璃中的“游离氧”越来越多, 虽然[BO₃]得到“游离氧”转化为[BO₄]的数量会继续增加, 但是[BO₄]是带负电的, 那么两个[BO₄]之间至少需要一个[SiO₄]或[BO₃]来阻断[BO₄], 以实现电中性, 因此会使[BO₄]数量达到一个极限值。超过这个值后, 部分[BO₄]就会转化为[BO₃]来保持体系的稳定, 会出现“硼反常”现象^[32], 使得[BO₃]的B-O-B弯曲振动峰向高波数偏移; 此外, 当大量掺杂La₂O₃或Y₂O₃时, 由于La₂O₃和Y₂O₃高场强的作用, 对[BO₄]的B-O键产生强烈的极化作用^[14], 这也会造成[BO₄]的B-O键减弱, 从而导致[BO₄]的B-O伸缩振动峰向低波数移动。

3 结论

- 1) 在60ZnO-30B₂O₃-10SiO₂玻璃中, La₂O₃最大掺杂量为8mol%, Y₂O₃最大掺杂量为6mol%;
- 2) La₂O₃和Y₂O₃的掺杂会不同程度地提高该玻璃的热稳定性; 当La₂O₃掺杂量为4mol%、Y₂O₃掺杂量为2mol%时, 所得玻璃的热稳定性最好;
- 3) La₂O₃和Y₂O₃在玻璃中是以网络修饰体存在, 当少量掺杂时会使玻璃网络链接程度提高; 当掺杂量达到一定程度时, 玻璃的网络链接程度降低。

参考文献:

- [1] KHALKHALI Z, HAMNABARD Z, QAZVINI S S A, et al. Preparation, phase formation and photoluminescence properties of ZnO-SiO₂-B₂O₃ glasses with different ZnO/B₂O₃ ratios. *Optical Materials*, 2012, **34**(5): 850-855.
- [2] SHEN Y, HOU L Y, ZUO G F, et al. Preparation of ZnO-B₂O₃-SiO₂: Mn²⁺ optical-storage glass-ceramics with different ZnF₂ dopant by Sol-Gel method. *Journal of Sol-Gel Science and Technology*, 2015, **73**(1): 192-198.
- [3] ANNAPURNA K, KUMAR A, DWIVEDI R N, et al. Fluorescence spectra of Cu⁺: ZnO-B₂O₃-SiO₂ glass. *Materials Letters*, 2000, **45**(1): 23-26.
- [4] ANNAPURNA K, DWIVEDI R N, KUNDU P, et al. Blue emission spectrum of Ce³⁺: ZnO-B₂O₃-SiO₂ optical glass. *Materials Letters*, 2004, **58**(5): 787-789.
- [5] ANNAPURNA K, DWIVEDI R D, KUNDU P, et al. Emission

- properties of Mn²⁺: ZnO-B₂O₃-SiO₂ glass. *Journal of Materials Science Letters*, 2003, **22**(12): 873-875.
- [6] ZHANG B, CHEN Q, SONG L, et al. Fabrication and properties of novel low-melting glasses in the ternary system ZnO-Sb₂O₃-P₂O₅. *Journal of Non-Crystalline Solids*, 2008, **354**(18): 1948-1954.
- [7] ZHENG W H, CHENG J S, TANG L Y, et al. Effect of Y₂O₃ addition on viscosity and crystallization of the lithium aluminosilicate glasses. *Thermochimica Acta*, 2007, **456**(1): 69-74.
- [8] XIAO L Y, XIAO Q, LIU Y L, et al. A transparent surface-crystallized Eu²⁺, Dy³⁺ co-doped strontium aluminate long-lasting phosphorescent glass-ceramic. *Journal of Alloys and Compounds*, 2010, **495**(1): 72-75.
- [9] XU X H, YAN X, YU X, et al. Concentration-dependent effects of optical storage properties in CSSO: Dy. *Materials Letters*, 2013, **99**: 158-160.
- [10] WANG M T, FANG L, LI M, et al. Dependence of Gd₂O₃ containing silicate glass workability and fragility on structure. *Materials Chemistry and Physics*, 2016, **179**: 304-309.
- [11] QIAN B, LIANG X F, YANG S Y, et al. Raman spectra study on the structure of lanthanum-iron phosphate glasses. *Chinese Journal of Inorganic Chemistry*, 2013, **29**(2): 314-318.
- [12] LU P, ZHENG Y, CHENG J S, et al. Effect of La₂O₃ addition on crystallization and properties of Li₂O-Al₂O₃-SiO₂ glass-ceramics. *Ceramics International*, 2013, **39**(7): 8207-8212.
- [13] WANG J, LIU C, ZHANG G K, et al. Crystallization properties of magnesium aluminosilicate glass-ceramics with and without rare-earth oxides. *Journal of Non-Crystalline Solids*, 2015, **419**: 1-5.
- [14] SINGH K, GUPTA N, PANDEY O P. Effect of Y₂O₃ on the crystallization behavior of SiO₂-MgO-B₂O₃-Al₂O₃ glasses. *Journal of Materials Science*, 2007, **42**(15): 6426-6432.
- [15] COSTANTINI A, FRESA R, BURI A, et al. Effect of the substitution of Y₂O₃ for CaO on the bioactivity of 2.5CaO-2SiO₂ glass. *Biomaterials*, 1997, **18**(6): 453-458.
- [16] WANG M T, LI X W, LI M, et al. Corrosion behavior of ZnO-B₂O₃-SiO₂ glass doped with rare earth oxides. *Journal of the Chinese Ceramic Society*, 2015, **43**(4): 504-510.
- [17] LI X W, LI M, WANG M T, et al. Effects of neodymium and gadolinium on weathering resistance of ZnO-B₂O₃-SiO₂ glass. *Journal of Rare Earths*, 2014, **32**(9): 874-878.
- [18] ZHANG Y Q, WANG M T, LI M, et al. The effect of Sm₂O₃ on the chemical stability of borosilicate glass and glass ceramics. *Journal of Wuhan University of Technology-Mater. Sci. Ed.*, 2014, **29**(4): 692-697.
- [19] 西北轻工业学院. 玻璃工艺学. 北京: 中国轻工业出版社, 2006: 66-74.
- [20] SHANNON R D. Revised effective ionic radii and systematic studies of interatomic distances in halides and chalcogenides. *Acta Crystallographica Section A*, 1976, **32**(5): 751-767.
- [21] 刘光华. 稀土材料学. 北京: 化学工业出版社, 2007: 19-34.
- [22] W·福格尔. 玻璃化学. 北京: 轻工业出版社, 1988: 22-25.
- [23] LAFO A, IMRAN M M A. Compositional dependence of thermal stability, glass-forming ability and fragility index in some Se-Te-Sn glasses. *Journal of Alloys and Compounds*, 2011, **509**(16): 5090-5094.
- [24] SAAD M, POULAIN M. Glass forming ability criteria. *Materials Science Forum*, 1987, **19-20**(September): 11-18.
- [25] NOVATSKI A, STEIMACHER A, MEDINA A N, et al. Relations among nonbridging oxygen, optical properties, optical basicity, and color center formation in CaO-MgO aluminosilicate glasses. *Journal of Applied Physics*, 2008, **104**(9): 1-7.
- [26] HOU L Y, ZUO G F, SHEN Y, et al. Effects of the replacing content of ZnBr₂ on the properties of ZnO-B₂O₃-SiO₂: Mn²⁺ glass-ceramics. *Ceramics International*, 2014, **40**(8): 13097-13103.
- [27] MANAL A B, FOUAD E D. Role of oxygen on the optical properties of borate glass doped with ZnO. *Journal of Solid State Chemistry*, 2011, **184**(10): 2762-2769.
- [28] RANI S, SANGHI S, AHLAWAT N, et al. Influence of Bi₂O₃ on thermal, structural and dielectric properties of lithium zinc bismuth borate glasses. *Journal of Alloys and Compounds*, 2014, **597**(10): 110-118.
- [29] MOTKE S G, YAWALE S P, YAWALE S S. Infrared spectra of zinc doped lead borate glasses. *Bulletin of Materials Science*, 2002, **25**(1): 75-78.
- [30] EL-EGILI K. Infrared studies of Na₂O-B₂O₃-SiO₂ and Al₂O₃-Na₂O-B₂O₃-SiO₂ glasses. *Physica B*, 2003, **325**(1-4): 340-348.
- [31] SAMEE M A, EDUKONDALU A, AHMMAD S K, et al. Mixed-Alkali Effect in Li₂O-Na₂O-K₂O-B₂O₃ Glasses: Infrared and Optical Absorption Studies. *Journal of Electronic Materials*, 2013, **42**(8): 2516-2524.
- [32] 干福熹. 光学玻璃. 北京: 科学出版社, 1982: 370-376.